

ЭКСПЕРИМЕНТАЛЬНОЕ ИЗУЧЕНИЕ И МАТЕМАТИЧЕСКОЕ МОДЕЛИРОВАНИЕ ХАРАКТЕРИСТИК ТУРБУЛЕНТНОГО ПОТОКА ВО ВРАЩАЮЩЕЙСЯ ОТНОСИТЕЛЬНО ПРОДОЛЬНОЙ ОСИ ПРЯМОЙ КРУГЛОЙ ТРУБЕ

П. Г. Заец, А. Ф. Курбацкий*, А. Т. Онуфриев, С. В. Поросева**,
Н. А. Сафаров, Р. А. Сафаров, С. Н. Яковенко*

Московский физико-технический институт, 141700 Долгопрудный

* Институт теоретической и прикладной механики СО РАН, 630090 Новосибирск

** Новосибирский государственный университет, 630090 Новосибирск

Воздействие завихренности, образующейся в поперечном сечении турбулентного потока в прямолинейной круглой трубе при вращении ее относительно продольной оси, приводит к уменьшению по длине трубы величин турбулентных напряжений, энергии турбулентности, скорости диссипации. Излагаются результаты лабораторных экспериментов и вычислений по модели турбулентного переноса второго уровня замыкания. Модель, использующая систему уравнений переноса, в целом дает лучшее согласие с экспериментальными данными, чем модели с алгебраическими соотношениями для моментов второго порядка.

Введение. Воздействие массовых сил в закрученном течении (центробежное и корiolисово ускорения), подобное воздействию ускорения силы тяжести в стратифицированном потоке [1, 2], приводит к ослаблению процессов переноса импульса и тепла. Завихренность, образующаяся в поперечном сечении турбулентного потока в прямолинейной круглой трубе при вращении трубы относительно продольной оси, приводит к подавлению турбулентных пульсаций и радиального турбулентного переноса при малых и умеренных скоростях вращения трубы: уменьшаются турбулентные напряжения, энергия турбулентности, ее диссипация.

В [3, 4] рассмотрено влияние вихревой закрутки потока на его статистические характеристики на основе полуэмпирических уравнений, описывающих поведение полей средней скорости и моментов второго порядка в приближении локального равновесия.

В настоящей работе представлены данные лабораторных измерений моментов поля скорости первого и второго порядков течения несжимаемой жидкости как в неподвижной, так и во вращающейся трубе. Эти данные сопоставлены с результатами вычислений по трем моделям турбулентного переноса, соответственно включающим: дифференциальные уравнения переноса для компонент тензора рейнольдсовых напряжений, алгебраические выражения для нормальных турбулентных напряжений в неравновесном приближении, алгебраические соотношения для турбулентных напряжений в приближении локального равновесия.

Результаты термоанеметрических экспериментальных исследований получены в МФТИ, численных расчетов — в ИТПМ СО РАН и НГУ.

Экспериментальное исследование характеристик турбулентного потока во вращающейся трубе. Опыты проводились на установке, основой которой являются прямолинейный участок канала длиной 100 калибров, формирующий развитое турбулентное течение, и вращающаяся секция длиной 25 калибров (диаметр канала 0,06 м). Воздух в канал подается из магистрали высокого давления через редуктор и игольчатый регулятор расхода, что обеспечивает постоянство расхода. Температура воздуха, поступающего в канал, с помощью подогревателя с автоматической регулировкой поддерживается постоянной и равной комнатной температуре. После подогревателя воздух поступает в ресивер, где проходит через несколько слоев капроновой ткани и выравнивающие металлические сетки. Ресивер связан с формирующей поток секцией соплом с поджатием 12 : 1. Между соплом и входом в канал установлен турбулизатор. В конце неподвижного участка трубы достигается режим развитого турбулентного течения для заданного числа Рейнольдса. Поток с такими характеристиками попадает в рабочую секцию канала, которая может вращаться относительно продольной оси. Привод вращающейся секции осуществляется асинхронным двигателем с частотным регулированием скорости вращения в пределах от 0 до 70 об/с. Скорость потока U_0 на оси канала от 0 до 70 м/с. Степень закрутки можно характеризовать параметром $SP = W_0/U_0 = \omega R/U_0$, где ω — угловая скорость вращения трубы. Ниже приводятся результаты измерений, выполненных при $U_0 = 10$ м/с, $Re_D = U_0 2R/\nu = 4 \cdot 10^4$ (ν — кинематическая вязкость воздуха, R — радиус трубы).

Измерения характеристик турбулентного потока проводились с помощью термоанемометрической аппаратуры фирмы DISA. Использовались зонды однонитевые 55P11, двухнитевые 55P61 и трехнитевые 55P91. Сигналы регистрировались при помощи аналоговой аппаратуры и обрабатывались на специализированной мини-ЭВМ «PLURIMAT-S» временных записей сигналов. Описание установки и методики измерений более подробно изложено в [5–8]. Измерены продольные и окружные составляющие средней скорости, компоненты тензора рейнольдсовых напряжений, некоторые моменты третьего порядка, скорость диссипации энергии (по зависимости для продольного одномерного спектра).

Модель уравнений переноса турбулентных напряжений. В данной работе для описания поведения моментов первого и второго порядков поля скорости турбулентного течения в круглой трубе, вращающейся вокруг оси, используются три различные по сложности модели турбулентного переноса с целью выяснения их точности.

Модель 1 включает дифференциальные уравнения турбулентного переноса для вектора средней скорости и тензора турбулентных напряжений [9–11]. Упрощенные варианты этой полной модели получаются при том или ином способе сведения дифференциальных уравнений для искомых моментов второго порядка к алгебраическим соотношениям. Модель 2 турбулентного переноса получается [9, 12] при упрощении уравнений для компонент тензора рейнольдсовых напряжений в приближении локального равновесия для касательных напряжений и в неравновесном приближении для нормальных напряжений. Модель 3 содержит соотношения, определяемые из уравнений переноса для моментов второго порядка в приближении локального баланса для всех компонент тензора турбулентных напряжений [13, 14]. Модели 1–3 включают также дифференциальные уравнения переноса для кинетической энергии турбулентности $E = \langle u_i u^i \rangle / 2$ и скорости ее диссипации ε . Заметим, что «стандартная» $E - \varepsilon$ -модель турбулентности с изотропным коэффициентом турбулентной вязкости не способна без дополнительной модификации умозрительного характера воспроизвести [9] необходимую анизотропию компонент тензора напряжений $\langle u_i u_j \rangle$.

Модели 1–3 сформулированы на основе развитой в [10, 11] модели моментов второго

порядка. Эффект подавления турбулентных пульсационных характеристик с ростом закрутки потока учитывался введением в уравнение для ε дополнительного слагаемого с числом Ричардсона закрутки [9, 15, 16]. Демпфирующее влияние стенки на поперечные пульсации скорости описывалось при помощи коррекции [12, 13] стандартной модели для корреляции давление — сдвиг скорости в уравнениях, определяющих моменты второго порядка. Для учета эффектов стенки в моделях 1–3 также модифицированы [14] члены деструкции в уравнениях для $\langle u_i u_j \rangle$ и ε . Как показывают результаты вычислений, все три модели адекватно описывают как воздействие закрутки потока на турбулентный перенос импульса, так и влияние твердой стенки. Однако различие моделей проявляется в точности полученных численных результатов при сравнении последних с опытными данными.

• *Определяющие уравнения модели.* Для описания течения во вращающейся трубе применяется цилиндрическая система координат $x^i = (x, r, \varphi)$, где x отсчитывается вдоль оси трубы, r — в радиальном направлении, а φ — в азимутальном направлении. Используется тензорная форма записи величин для произвольной криволинейной системы координат. В цилиндрических координатах компоненты средней и пульсационной скорости имеют вид $U_i = (U, V, rW)$, $U^i = (U, V, W/r)$, $u_i = (u, v, rw)$, $u^i = (u, v, w/r)$. Система точных (незамкнутых) уравнений переноса для вектора средней скорости и тензора турбулентных напряжений для стационарного несжимаемого течения в общей тензорной форме записывается как

$$U_{,i}^i = 0, \quad U^j U_{i,j} = \nu g^{jk} U_{i,jk} - \langle u_i u^j \rangle_{,j} - \hat{P}_{,i} / \rho; \quad (1)$$

$$U^k \langle u_i u_j \rangle_{,k} = \nu (g^{km} \langle u_i u_j \rangle_{,k})_{,m} + D_{ij} + P_{ij} + \Pi_{ij} - \varepsilon_{ij}, \quad (2)$$

где $D_{ij} = -\langle u_i u_j u^m \rangle_{,m} - (\langle p u_i \rangle_{,j} + \langle p u_j \rangle_{,i}) / \rho$ (турбулентный перенос); $P_{ij} = -\langle u_j u^k \rangle U_{i,k} - \langle u_i u^k \rangle U_{j,k}$ (порождение турбулентности); $\Pi_{ij} = \langle p(u_{i,j} + u_{j,i}) \rangle / \rho$ (корреляция давление — сдвиг скорости); $\varepsilon_{ij} = 2\nu g^{km} \langle u_{i,m} u_{j,k} \rangle$ (диссипация); индекс i означает ковариантное дифференцирование по координате x^i ; g^{ij} — метрический тензор; $\langle \dots \rangle$ — осреднение по времени; \hat{P} — среднее давление; p — пульсации давления; ρ — плотность; ν — коэффициент кинематической вязкости.

Для получения замкнутого вида системы (1), (2) необходимы модельные представления для членов D_{ij} , Π_{ij} и ε_{ij} . Простейшим модельным выражением градиентного типа для процессов турбулентной диффузии (моментов третьего порядка) является [17]

$$-\langle u_i u_j u^m \rangle = -g^{km} \langle u_i u_j u_k \rangle = g^{km} C_s \frac{E}{\varepsilon} \langle u_k u^\alpha \rangle \langle u_i u_j \rangle_{,\alpha} \quad (3)$$

($C_s = 0,18$ — эмпирический коэффициент). Диссипация ε наряду с порождением $P = -(1/2)(\langle u_i u^k \rangle U_{i,k} + \langle u^i u^k \rangle U_{i,k})$ входит в уравнение для энергии турбулентности, получаемое из (2), (3):

$$U^k E_{,k} = \left[g^{km} \left(\nu E_{,k} + C_s \frac{E}{\varepsilon} \langle u_k u^\alpha \rangle E_{,\alpha} \right) \right]_{,m} + P - \varepsilon - \frac{2\nu E}{x_n^2}. \quad (4)$$

Последнее слагаемое в (4) появляется при коррекции стандартного модельного выражения для $\varepsilon_{ij} = (2/3)\delta_{ij}\varepsilon$, учитывающей эффект малых чисел Рейнольдса [14] вблизи стенки:

$$\varepsilon_{ij} = \frac{2}{3} g_{ij} \varepsilon + 2\nu \frac{\langle u_i u_j \rangle}{x_n^2} \quad (5)$$

(x_n — расстояние до стенки).

Корреляция давление – сдвиг скорости моделируется [11] в виде суммы трех слагаемых:

$$\Pi_{ij} = \Pi_{ij}^{(1)} + \Pi_{ij}^{(2)} + \left(\Pi_{ij}^{\prime(1)} + \Pi_{ij}^{\prime(2)} \right) f(x_n). \quad (6)$$

Здесь первое слагаемое описывает стремление турбулентности к изотропии в отсутствие сдвига средней скорости и эффектов стенки:

$$\Pi_{ij}^{(1)} = -C_1 \frac{\varepsilon}{E} \left(\langle u_i u_j \rangle - \frac{2}{3} g_{ij} E \right); \quad (7)$$

второе — вклад градиентов средней скорости:

$$\Pi_{ij}^{(2)} = -C_2 \left(P_{ij} - \frac{2}{3} g_{ij} P \right); \quad (8)$$

третье — влияние стенки [13]:

$$\Pi_{ij}^{\prime(1)} = C'_1 \frac{\varepsilon}{E} \left[\langle u_n^2 \rangle g_{ij} - \frac{3}{2} (\langle u_n u_j \rangle g_{in} + \langle u_n u_i \rangle g_{jn}) \right]; \quad (9)$$

$$\Pi_{ij}^{\prime(2)} = C'_2 \left[\Pi_{nn}^{(2)} g_{ij} - \frac{3}{2} (\Pi_{nj}^{(2)} g_{in} + \Pi_{ni}^{(2)} g_{jn}) \right], \quad (10)$$

где демпфирующая функция $f = (1/5)E^{3/2}/(\varepsilon x_n)$ [12] (индекс n означает направление по нормали к стенке).

Входящая в модельные выражения величина ε определяется из дифференциального уравнения переноса

$$U^k \varepsilon_{,k} = \left[\nu \varepsilon_{,k} + C_\varepsilon \frac{E}{\varepsilon} \langle u_k u^\alpha \rangle \varepsilon_{,\alpha} \right]_{,m} + \left(C_{\varepsilon 1} P - C_{\varepsilon 2}^* \varepsilon \right) \frac{\varepsilon}{E} - \frac{2\nu\varepsilon}{x_n^2} f_1. \quad (11)$$

Здесь

$$f_1 = \exp(-0,5x_n u_* / \nu); \quad C_\varepsilon = 0,18; \quad C_{\varepsilon 1} = 1,35; \quad C_{\varepsilon 2} = 1,8;$$

$$C_{\varepsilon 2}^* = \max [1,4; C_{\varepsilon 2} f_2 (1 - C_{\varepsilon 3} \text{Ri}_W)]; \quad f_2 = 1 - (2/9) \exp[-(E^2/(6\nu\varepsilon))^2];$$

$$\text{Ri}_W = \left[\frac{W}{r} \frac{\partial W}{\partial r} \right] / \left[\left(\frac{\partial U}{\partial r} \right)^2 + \left(\frac{\partial W}{\partial r} \right)^2 \right].$$

Число Ричардсона закрутки Ri_W в (11) вводится для описания воздействия кривизны линий тока на турбулентность по аналогии с влиянием стратификации среды на турбулентный перенос [15]. Коррекция на кривизну линий тока включается в член деструкции в (11) согласно [16]. Выражение для Ri_W взято в более общем виде, чем в [16], по аналогии с числом Ричардсона в стратифицированных турбулентных течениях [9, 13]. Коррекция деструкции в уравнении (11) базируется на гипотезе, заключающейся в том, что стабилизирующий эффект закрутки может быть смоделирован за счет уменьшения масштаба длины турбулентных вихрей $L = E^{3/2}/\varepsilon$ при $\text{Ri}_W > 0$ (т. е. за счет увеличения диссипации ε , приводящего к подавлению энергии турбулентности E). Коэффициент $C_{\varepsilon 2}^*$ ограничен снизу ($C_{\varepsilon 2}^* \geq 1,4$) для того, чтобы диссипация ε не становилась «слишком большой» из-за чрезмерного уменьшения коэффициента $C_{\varepsilon 2} f_2 (1 - C_{\varepsilon 3} \text{Ri}_W)$ с ростом Ri_W при увеличении параметра закрутки ($\text{SP} > 0,6$).

• *Модель 1 для осесимметричного течения в трубе.* Сформулированные выше модельные представления приводят к замкнутой системе уравнений турбулентного переноса

для моментов первого и второго порядков. Для установившегося осесимметричного течения в трубе определяющие уравнения модели в цилиндрической системе координат имеют вид

$$\frac{\partial U}{\partial x} + \frac{1}{r} \frac{\partial}{\partial r} (rV) = 0; \quad (12)$$

$$U \frac{\partial U}{\partial x} + V \frac{\partial U}{\partial r} = \frac{1}{r} \frac{\partial}{\partial r} \left[r \left(\nu \frac{\partial U}{\partial r} - \langle uv \rangle \right) \right] - \frac{1}{\rho} \frac{\partial \hat{P}}{\partial x}; \quad (13)$$

$$U \frac{\partial W}{\partial x} + V \frac{\partial W}{\partial r} + V \frac{W}{r} = \frac{1}{r} \frac{\partial}{\partial r} \left[r \left(\nu \frac{\partial W}{\partial r} - \langle vw \rangle \right) \right] - \nu \frac{W}{r^2} - \frac{\langle vw \rangle}{r}; \quad (14)$$

$$U \frac{\partial E}{\partial x} + V \frac{\partial E}{\partial r} = \frac{1}{r} \frac{\partial}{\partial r} \left[r \left(\nu + C_s \frac{E}{\varepsilon} \langle v^2 \rangle \right) \frac{\partial E}{\partial r} \right] + P - \varepsilon - \frac{2\nu E}{(R-r)^2}; \quad (15)$$

$$U \frac{\partial \varepsilon}{\partial x} + V \frac{\partial \varepsilon}{\partial r} = \frac{1}{r} \frac{\partial}{\partial r} \left[r \left(\nu + C_\varepsilon \frac{E}{\varepsilon} \langle v^2 \rangle \right) \frac{\partial \varepsilon}{\partial r} \right] + \{C_{\varepsilon 1} P - C_{\varepsilon 2} \varepsilon\} (\varepsilon/E) - \frac{2\nu \varepsilon}{(R-r)^2} f_1, \quad (16)$$

где U , V и W — компоненты вектора средней скорости в продольном, радиальном и азимутальном направлениях, а u , v и w — соответствующие пульсационные компоненты скорости. Входящие в (13)–(16) турбулентные напряжения находятся из дифференциальных уравнений переноса (2), замкнутых согласно выражениям (3), (5)–(10). Для отдельных компонент тензора напряжений эти уравнения записываются в виде

$$U \frac{\partial \langle u^2 \rangle}{\partial x} + V \frac{\partial \langle u^2 \rangle}{\partial r} = \frac{1}{r} \frac{\partial}{\partial r} \left[r \left(\nu + C_s \frac{E}{\varepsilon} \langle v^2 \rangle \right) \frac{\partial \langle u^2 \rangle}{\partial r} \right] + P_{uu} + \\ + \left\{ -C_1 \frac{\varepsilon}{E} \left(\langle u^2 \rangle - \frac{2}{3} E \right) - C_2 \left(P_{uu} - \frac{2}{3} P \right) + \Pi' f \right\} - \frac{2}{3} \varepsilon - \frac{2\nu}{(R-r)^2} \langle u^2 \rangle; \quad (17)$$

$$U \frac{\partial \langle v^2 \rangle}{\partial x} + V \frac{\partial \langle v^2 \rangle}{\partial r} - 2 \langle vw \rangle \frac{W}{r} = \frac{1}{r} \frac{\partial}{\partial r} \left[r \left(\nu + C_s \frac{E}{\varepsilon} \langle v^2 \rangle \right) \frac{\partial \langle v^2 \rangle}{\partial r} \right] - \\ - \frac{2}{r} C_s \left[\frac{\partial}{\partial r} \left(\frac{E}{\varepsilon} \langle vw \rangle \langle vw \rangle \right) + \frac{E}{\varepsilon} \langle vw \rangle \frac{\partial \langle vw \rangle}{\partial r} \right] + 2 \left(\nu + C_s \frac{E}{\varepsilon} \langle w^2 \rangle \right) \frac{\langle w^2 \rangle - \langle v^2 \rangle}{r^2} + P_{vv} + \\ + \left\{ -C_1 \frac{\varepsilon}{E} \left(\langle v^2 \rangle - \frac{2}{3} E \right) - C_2 \left(P_{vv} - \frac{2}{3} P \right) - 2\Pi' f \right\} - \frac{2}{3} \varepsilon - \frac{2\nu}{(R-r)^2} \langle v^2 \rangle; \quad (18)$$

$$U \frac{\partial \langle w^2 \rangle}{\partial x} + V \frac{\partial \langle w^2 \rangle}{\partial r} + 2 \langle vw \rangle \frac{W}{r} = \frac{1}{r} \frac{\partial}{\partial r} \left[r \left(\nu + C_s \frac{E}{\varepsilon} \langle v^2 \rangle \right) \frac{\partial \langle w^2 \rangle}{\partial r} \right] + \\ + \frac{2}{r} C_s \left[\frac{\partial}{\partial r} \left(\frac{E}{\varepsilon} \langle vw \rangle \langle vw \rangle \right) + \frac{E}{\varepsilon} \langle vw \rangle \frac{\partial \langle vw \rangle}{\partial r} \right] - 2 \left(\nu + C_s \frac{E}{\varepsilon} \langle w^2 \rangle \right) \frac{\langle w^2 \rangle - \langle v^2 \rangle}{r^2} + P_{ww} + \\ + \left\{ -C_1 \frac{\varepsilon}{E} \left(\langle w^2 \rangle - \frac{2}{3} E \right) - C_2 \left(P_{ww} - \frac{2}{3} P \right) + \Pi' f \right\} - \frac{2}{3} \varepsilon - \frac{2\nu}{(R-r)^2} \langle w^2 \rangle \\ \left(\Pi' = C'_1 \frac{\varepsilon}{E} \langle v^2 \rangle - C'_2 C_2 \left(P_{vv} - \frac{2}{3} P \right), \quad f = \frac{1}{5} \frac{E^{3/2}}{(R-r)\varepsilon} \right); \quad (19)$$

$$U \frac{\partial \langle uv \rangle}{\partial x} + V \frac{\partial \langle uv \rangle}{\partial r} - \langle uw \rangle \frac{W}{r} = \frac{1}{r} \frac{\partial}{\partial r} \left[r \left(\nu + C_s \frac{E}{\varepsilon} \langle v^2 \rangle \right) \frac{\partial \langle uv \rangle}{\partial r} \right] - \\ - \frac{C_s}{r} \left[\frac{\partial}{\partial r} \left(\frac{E}{\varepsilon} \langle vw \rangle \langle uw \rangle \right) + \frac{E}{\varepsilon} \langle vw \rangle \frac{\partial \langle uw \rangle}{\partial r} \right] - \left(\nu + C_s \frac{E}{\varepsilon} \langle w^2 \rangle \right) \frac{\langle uv \rangle}{r^2} + P_{uv} +$$

$$+ \left\{ -C_1 \frac{\varepsilon}{E} \langle uv \rangle - C_2 P_{uv} - \frac{3}{2} \left(C'_1 \frac{\varepsilon}{E} \langle uv \rangle + C'_2 C_2 P_{uv} \right) f \right\} - \frac{2\nu}{(R-r)^2} \langle uv \rangle. \quad (20)$$

$$\begin{aligned} U \frac{\partial \langle vw \rangle}{\partial x} + V \frac{\partial \langle vw \rangle}{\partial r} - [\langle w^2 \rangle - \langle v^2 \rangle] \frac{W}{r} = & \frac{1}{r} \frac{\partial}{\partial r} \left[r \left(\nu + C_s \frac{E}{\varepsilon} \langle v^2 \rangle \right) \frac{\partial \langle vw \rangle}{\partial r} \right] - \\ & - \frac{C_s}{r} \left[\frac{\partial}{\partial r} \left(\frac{E}{\varepsilon} \langle vw \rangle (\langle w^2 \rangle - \langle v^2 \rangle) \right) + \frac{E}{\varepsilon} \langle vw \rangle \frac{\partial}{\partial r} (\langle w^2 \rangle - \langle v^2 \rangle) \right] - 4 \left(\nu + C_s \frac{E}{\varepsilon} \langle w^2 \rangle \right) \frac{\langle vw \rangle}{r^2} + P_{vw} + \\ & + \left\{ -C_1 \frac{\varepsilon}{E} \langle vw \rangle - C_2 P_{vw} - \frac{3}{2} \left(C'_1 \frac{\varepsilon}{E} \langle vw \rangle + C'_2 C_2 P_{vw} \right) f \right\} - \frac{2\nu}{(R-r)^2} \langle vw \rangle; \end{aligned} \quad (21)$$

$$\begin{aligned} U \frac{\partial \langle uw \rangle}{\partial x} + V \frac{\partial \langle uw \rangle}{\partial r} + \langle uv \rangle \frac{W}{r} = & \frac{1}{r} \frac{\partial}{\partial r} \left[r \left(\nu + C_s \frac{E}{\varepsilon} \langle v^2 \rangle \right) \frac{\partial \langle uw \rangle}{\partial r} \right] + \\ & + \frac{C_s}{r} \left[\frac{\partial}{\partial r} \left(\frac{E}{\varepsilon} \langle vw \rangle \langle uv \rangle \right) + \frac{E}{\varepsilon} \langle vw \rangle \frac{\partial \langle uv \rangle}{\partial r} \right] - \left(\nu + C_s \frac{E}{\varepsilon} \langle w^2 \rangle \right) \frac{\langle uw \rangle}{r^2} + \\ & + P_{uw} + \left\{ -C_1 \frac{\varepsilon}{E} \langle uw \rangle - C_2 P_{uw} \right\} - \frac{2\nu}{(R-r)^2} \langle uw \rangle. \end{aligned} \quad (22)$$

В уравнениях (17)–(22) члены порождения имеют вид

$$\begin{aligned} P_{uu} &= -2 \langle uv \rangle \frac{\partial U}{\partial r}, \quad P_{vv} = 2 \langle vw \rangle \frac{W}{r}, \quad P_{ww} = -2 \langle vw \rangle \frac{\partial W}{\partial r}, \\ P_{uv} &= -\langle v^2 \rangle \frac{\partial U}{\partial r} + \langle uw \rangle \frac{W}{r}, \quad P_{vw} = -\langle v^2 \rangle \frac{\partial W}{\partial r} + \langle w^2 \rangle \frac{W}{r}, \\ P_{uw} &= -\langle uv \rangle \frac{\partial W}{\partial r} - \langle vw \rangle \frac{\partial U}{\partial r}, \quad P = \frac{1}{2} (P_{uu} + P_{vv} + P_{ww}). \end{aligned}$$

Для удобства численной реализации вместо уравнений (18) и (19) для $\langle v^2 \rangle$ и $\langle w^2 \rangle$ использованы уравнение (15) для $E = (1/2)(\langle u^2 \rangle + \langle v^2 \rangle + \langle w^2 \rangle)$ и уравнение для $a = \langle w^2 \rangle - \langle v^2 \rangle$, полученное из (18) и (19). Последняя замена обусловлена наличием в уравнениях для $\langle v^2 \rangle$ и $\langle w^2 \rangle$ особенности на оси трубы из-за источника вида $\pm 2(\nu + C_s(E/\varepsilon)\langle w^2 \rangle)(a/r^2)$, если $a \neq 0$. Значения $\langle v^2 \rangle$ и $\langle w^2 \rangle$ определяются по найденным из уравнений переноса величинам E , $\langle u^2 \rangle$ и a : $\langle v^2 \rangle = E - (\langle u^2 \rangle + a)/2$, $\langle w^2 \rangle = a + \langle v^2 \rangle$. Градиент давления $-(1/\rho)(\partial \hat{P}/\partial x)$ в уравнении (13) можно определить при интегрировании (13) в приближении малости конвекции $U(\partial U/\partial x) + V(\partial U/\partial r)$ (численные эксперименты показали справедливость такого допущения). Интегрирование (13) по сечению трубы дает

$$-\frac{1}{\rho} \frac{d\hat{P}}{dx} = \frac{2}{R^2} \left[-r \left(\nu \frac{\partial U}{\partial r} - \langle uv \rangle \right) \Big|_0^R \right] = \frac{2\nu}{R} \left(-\frac{\partial U}{\partial r} \right)_{r=R},$$

откуда находится скорость трения на стенке $u_* = [\nu(-\partial U/\partial r)_{r=R}]^{1/2}$, входящая в демпфирующую функцию f_1 в уравнении (16) для диссипации.

Значения численных коэффициентов модели уравнений переноса рейнольдсовых напряжений (модель 1) представлены в таблице. Такие же значения использовались, например, в [9, 11–13].

Модель	C_1	C_2	C'_1	C'_2	$C_{\epsilon 1}$	$C_{\epsilon 2}$	$C_{\epsilon 3}$	C_{ϵ}	C_s
1	1,5	0,6	0,3	0,3	1,35	1,8	2,0	0,18	0,18
2 и 3	1,5	0,6	0,3	0,3	1,35	1,8	2,5	0,18	0,18

Модель с алгебраическими соотношениями для напряжений Рейнольдса. Дифференциальные уравнения переноса (2) для турбулентных напряжений могут быть упрощены до алгебраических в предположении малости членов конвекции и диффузии по сравнению с порождением и диссипацией, а также пропорциональности переноса компонент тензора $\langle u_i u_j \rangle$ переносу энергии турбулентности [9]:

$$U^k \langle u_i u_j \rangle, k - \nu(g^{km} \langle u_i u_j \rangle, k), m - D_{ij} = P_{ij} + \Pi_{ij} - \varepsilon_{ij} = \left(\frac{\langle u_i u_j \rangle}{E} \right) k \left[P - \varepsilon - \frac{2\nu E}{(R-r)^2} \right]. \quad (23)$$

Коэффициент $k = 0$ в приближении локального равновесия [13], $k = 1$ в неравновесном приближении [9, 12]. Из (23) после подстановки точного вида порождений P_{ij} и модельных аппроксимаций (5)–(10) для корреляций Π_{ij} и ε_{ij} выражаются искомые моменты второго порядка. Для осесимметричного течения в трубе соотношения для моментов второго порядка получаются упрощением уравнений (17)–(22) для отдельных компонент тензора напряжений Рейнольдса согласно (23):

$$\langle u^2 \rangle = \frac{(2/3)[(C_1 - 1)\varepsilon + C_2 P] + (1 - C_2)P_{uu} + \Pi' f}{C_1(\varepsilon/E) + 2\nu/(R-r)^2 + k[P - \varepsilon - 2\nu E/(R-r)^2]/E}, \quad (24)$$

$$\langle v^2 \rangle = \frac{\frac{2}{3}[(C_1 - 1)\varepsilon + C_2 P] + (1 - C_2)P_{vv} + 2C'_2 C_2 (P_{vv} - \frac{2}{3}P)f + \frac{2\nu \langle w^2 \rangle}{r^2}}{(C_1 + 2C'_1 f)\frac{\varepsilon}{E} + \frac{2\nu}{(R-r)^2} + \frac{2\nu}{r^2} + k\left[\frac{P - \varepsilon}{E} - \frac{2\nu}{(R-r)^2}\right]}, \quad (25)$$

$$\langle w^2 \rangle = \frac{\frac{2}{3}[(C_1 - 1)\varepsilon + C_2 P] + (1 - C_2)P_{ww} + \Pi' f + \frac{2\nu \langle v^2 \rangle}{r^2}}{C_1 \frac{\varepsilon}{E} + \frac{2\nu}{(R-r)^2} + \frac{2\nu}{r^2} + k\left[\frac{P - \varepsilon}{E} - \frac{2\nu}{(R-r)^2}\right]}, \quad (26)$$

$$\langle uv \rangle = \frac{(1 - C_2 - 3C'_2 C_2 f/2)P_{uv}}{(C_1 + 3C'_1 f/2)(\varepsilon/E) + 2\nu/(R-r)^2 + \nu/r^2} = A_{uv} \bar{P}_{uv}, \quad (27)$$

$$\langle vw \rangle = \frac{(1 - C_2 - 3C'_2 C_2 f/2)P_{vw}}{(C_1 + 3C'_1 f/2)(\varepsilon/E) + 2\nu/(R-r)^2 + 4\nu/r^2} = A_{vw} \bar{P}_{vw}, \quad (28)$$

$$\langle uw \rangle = \frac{(1 - C_2)P_{uw}}{C_1(\varepsilon/E) + 2\nu/(R-r)^2 + \nu/r^2} = A_{uw} \bar{P}_{uw}. \quad (29)$$

Отметим, что в (25)–(29) введена коррекция в виде членов, добавленных из второго слагаемого в левой части определяющего выражения (23) и пропорциональных величине ν/r^2 . Эта коррекция необходима для описания правильного поведения вблизи оси не только моментов второго порядка ($r^2 \sim \langle w^2 \rangle - \langle v^2 \rangle \sim \langle vw \rangle \rightarrow 0$ при $r \rightarrow 0$), но и средней окружной скорости ($W \sim r$ при $r \rightarrow 0$) при больших параметрах закрутки. Такая коррекция может рассматриваться и как штраф алгебраической модели (24)–(29), поскольку полная модель второго уровня замыкания (12)–(22) учитывает асимптотическое поведение искомых величин у оси автоматически.

Выражения (27) и (28) с учетом (29) имеют вид

$$-\langle uv \rangle = \frac{\langle v^2 \rangle + A_{uv} \langle vw \rangle (W/r)}{A_{uv}^{-1} + A_{uw}(W/r)(\partial W/\partial r)} \frac{\partial U}{\partial r} = \nu_{tU} \frac{\partial U}{\partial r}, \quad (30)$$

$$-\langle vw \rangle = \nu_{tW} \frac{\partial W}{\partial r} - \alpha_{tW} \frac{W}{r}, \quad \nu_{tW} = A_{vw} \langle v^2 \rangle, \quad \alpha_{tW} = A_{vw} \langle w^2 \rangle, \quad (31)$$

где «эффективные коэффициенты турбулентной вязкости» ν_{tU} , ν_{tW} и α_{tW} — сложные функции от W , E , ε и других параметров. С учетом (30) и (31) уравнения (13) и (14) приводятся к уравнениям параболического типа

$$U \frac{\partial U}{\partial x} + V \frac{\partial U}{\partial r} = \frac{1}{r} \frac{\partial}{\partial r} \left[r(\nu + \nu_{tU}) \frac{\partial U}{\partial r} \right] - \frac{1}{\rho} \frac{\partial \hat{P}}{\partial x}; \quad (32)$$

$$U \frac{\partial W}{\partial x} + V \frac{\partial W}{\partial r} + V \frac{W}{r} = \frac{1}{r} \frac{\partial}{\partial r} \left[r(\nu + \nu_{tW}) \frac{\partial W}{\partial r} \right] - \nu \frac{W}{r^2} - \frac{1}{r} \left[\frac{\partial (\alpha_{tW} W)}{\partial r} + \langle vw \rangle \right]. \quad (33)$$

Уравнения (12), (32), (33) для поля средней скорости, (15) и (16) для энергии турбулентности и скорости ее диссипации, а также соотношения (24)–(31) для турбулентных напряжений дают модель турбулентного переноса с алгебраическими выражениями для моментов второго порядка. В формулах (24)–(26) коэффициент $k = 1$ в неравновесном приближении (модель 2) и $k = 0$ в локально-равновесном (модель 3). Эмпирические коэффициенты моделей 2 и 3 представлены в таблице.

Численная реализация моделей турбулентности. Границные условия для дифференциальных уравнений переноса моделей 1–3 следующие:
при $r = 0$ (на оси трубы)

$$\frac{\partial U}{\partial r} = \frac{\partial E}{\partial r} = \frac{\partial \varepsilon}{\partial r} = \frac{\partial \langle u^2 \rangle}{\partial r} = \frac{\partial a}{\partial r} = \langle uv \rangle = \langle vw \rangle = \langle uw \rangle = W = 0,$$

при $r = R$ (на стенке трубы)

$$U = E = \varepsilon = \langle u^2 \rangle = a = \langle uv \rangle = \langle vw \rangle = \langle uw \rangle = 0, \quad W = W_0 > 0.$$

Определяющая система уравнений параболического типа для U , W , E , ε (и для $\langle u_i u_j \rangle$) в модели 1) решена методом контрольного объема [18]. Для этого уравнения переноса искомых величин F записываются в переменных Мизеса (координата x — функция тока ψ) в общем виде:

$$\left(\frac{\partial F}{\partial x} \right)_\psi = \frac{\partial}{\partial \psi} \left[r^2 U \Gamma_F \frac{\partial F}{\partial \psi} \right] + \frac{S_F}{U} \quad (34)$$

(Γ_F — диффузионный коэффициент, S_F — источниковый член).

Область вычислений в поперечном направлении разбивалась на $N - 1$ интервалов. Процедура численного решения уравнений вида (34) представляет собой безытерационный процесс пошагового интегрирования и подробно описана в [18]. Шаг Δx интегрирования по координате x и количество точек $N = 128$ выбирались из условия сохранения необходимой точности расчетов (изменение искомых величин в пределах 1 % от их максимальных значений при уменьшении Δx или увеличении N в 2 раза). Сетка по координате r взята неравномерной:

- а) $\Delta r_i = \nu/u_{*0}$ при $0 \leq y^+ \leq 5$ (10 равных интервалов в вязком подслое), u_{*0} — скорость трения на стенке в выходном сечении невращающейся секции трубы;
- б) $\Delta r_{i+1} = \beta \Delta r_i$ при $5 < y^+ \leq 50$ (возрастание интервалов по геометрической прогрессии от стенки трубы в переходной области);
- в) $\Delta r_i = \text{const} \gg \nu/u_{*0}$ при $50 < y^+ \leq \text{Re}^*$, где $y^+ = (R-r)u_{*0}/\nu = (1-r/R)\text{Re}^*$ (100 равных интервалов во внешнем течении вплоть до оси трубы).

Закон сохранения расхода в переменных (x, ψ) выполнялся автоматически:

$$\int_0^R Ur dr = \psi(R) - \psi(0) = \text{const},$$

поскольку на каждом интервале при интегрировании по контрольным объемам соблюдалось условие

$$\psi(r_{i+1}) - \psi(r_i) = \int_{r_i}^{r_{i+1}} Ur dr = \text{const}, \quad i = 1, \dots, N-1.$$

Значения r_i вычислялись по рекуррентной формуле

$$r_{i+1}^2 - r_i^2 = 2 \int_{\psi(r_i)}^{\psi(r_{i+1})} \frac{d\psi}{U}.$$

Условие $r_N = R$, т. е.

$$\sum_{i=1}^{N-1} \int_{\psi(r_i)}^{\psi(r_{i+1})} \frac{d\psi}{U} = \frac{R^2}{2},$$

удовлетворялось умножением скорости U во всех точках на величину невязки $(r_N^2 - r_1^2)/R^2$ в каждом сечении $x = \text{const}$.

Расчет проводился в два этапа: 1) получение развитого течения без закрутки, 2) наложение на развитый поток вращения трубы со скоростью $W_0 = \omega R$.

На первом этапе вычислений начальный профиль скорости задавался в виде комбинации линейной ($U(r) = u_* y^+$ при $0 < y^+ \leq y_R^+$) и степенной ($U(r) = C_t u_* (y^+)^{1/7}$ ($C_t = 8,74$, $y_R^+ = C_t^{7/6}$) при $y_R^+ < y^+ \leq \text{Re}^*$) функций. Энергия турбулентности и ее компоненты выбирались равными небольшим фоновым значениям: $E(r) = E_0 = 10^{-3} u_{*0}^2$, $\langle u^2 \rangle = (2/3)E_0$, $a = 0$; касательное напряжение $\langle uv \rangle|_{x=0} = 0$. Из предположений локального равновесия ($P = \varepsilon$) и градиентной связи $\langle uv \rangle = -C_\mu f_\mu (E^2/\varepsilon) (\partial U / \partial r)$ (значение $C_\mu = 0,09$ и демпфирующая функция $f_\mu = 1 - \exp(-0,01 y^+)$ взяты из [14]) находилась диссипация энергии турбулентности: $\varepsilon(r) = \sqrt{C_\mu f_\mu E_0} |\partial U / \partial r|$.

На втором этапе вычислений в качестве начальных данных выбирались поперечные профили U , E , ε , $\langle uv \rangle$, $\langle u^2 \rangle$, $a = \langle w^2 \rangle - \langle v^2 \rangle$, полученные на первом этапе, формирующем развитый турбулентный поток в трубе. Остальные искомые функции взяты равными $W(r = R) = W_0$, $W(r < R) = \langle vw \rangle = \langle uw \rangle = 0$.

Вычисленные характеристики обезразмерены с помощью динамической скорости u_{*0} и радиуса трубы R . Входной параметр $\text{Re}^* = Ru_{*0}/\nu = 875$ тот же, что и в эксперименте ($R = 3$ см, $U_0 = 10^3$ см/с, $\nu = 0,149$ см²/с, $u_{*0} = 43,5$ см/с). На первом этапе расчетов пройдено расстояние $200R$ по координате x вдоль оси трубы, на втором этапе $50R$, как и в эксперименте. Установление течения с ростом x можно характеризовать величиной адвекции энергии турбулентности, уменьшающейся в конце первого этапа расчета до пренебрежимо малого значения:

$$\left| U(\partial E / \partial x)_\psi \right|_{\max} \sim 10^{-2} (u_{*0}^3 / R) \ll \varepsilon_{\min}.$$

В конце второго этапа вычислений относительная величина адвекции гораздо выше, и установления характеристик турбулентного течения по x не наблюдается.

Результаты лабораторных и численных экспериментов. Проверка точности моделей турбулентного переноса. Результаты лабораторных и численных экспериментов для течения во вращающейся трубе при различных параметрах закрутки представлены на рис. 1–5 (для выходного сечения вращаемого участка трубы при $x/R = 50$).

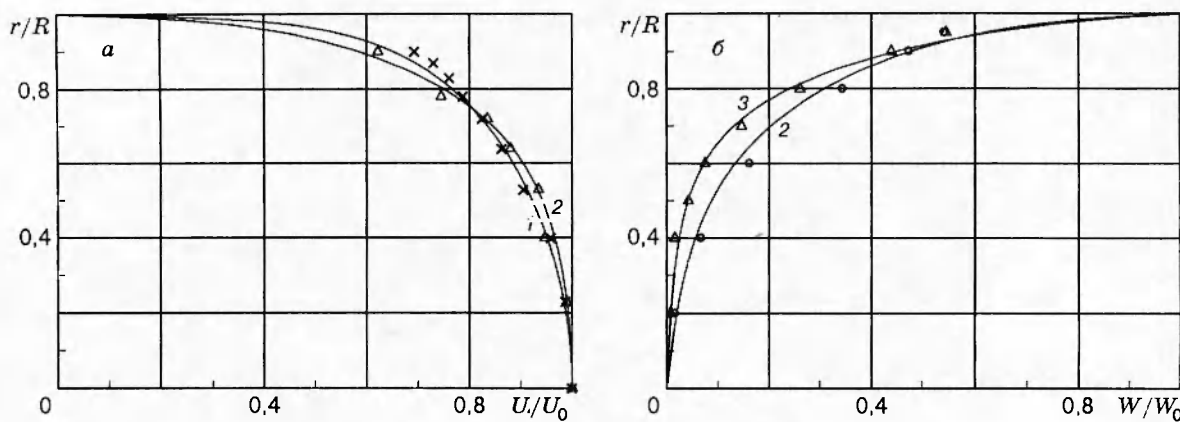


Рис. 1. Профили продольной U/U_0 (а) и окружной W/W_0 (б) составляющих средней скорости при различных значениях SP:

1–3 — вычисления по дифференциальной модели 1; \times , Δ , \circ — экспериментальные данные [5–8]; $SP = 0$ (1, \times); 0,6 (2, Δ); 0,15 (3, \circ)

В незакрученном потоке результаты измерений продольной компоненты средней скорости, напряжений Рейнольдса, энергии турбулентности и скорости ее диссипации удовлетворительно согласуются с известными данными [19–22]. Экспериментальный профиль $U(r)/U_0$ при $SP = 0$ приближенно описывается степенным (логарифмическим) законом (рис. 1, а). Различие вычисленных профилей $U(r)$ по всем трем моделям не превышает на оси трубы 2 % для незакрученного течения и примерно 5 % — для закрученного течения. На рис. 1, а показан профиль $U(r)$, полученный по модели 1 вторых моментов, который лучше согласуется с опытными данными для закрученного течения по сравнению с профилями, найденными по моделям 2 и 3 с алгебраическими выражениями для вторых моментов (на рис. 1, а не показаны); при $SP > 0$ данные показаны в выходном сечении вращающегося участка трубы ($x/R = 50$).

Результаты измерений диссипации $\varepsilon(r)$ (рис. 2, б) при $SP = 0$ хорошо воспроизводятся моделями 1–3 в области $0 < r/R < 0,5$. Различие между вычисленными профилями диссипации по всем трем моделям невелико, поэтому на рис. 2, б показаны профили, найденные по модели 1 вторых моментов. Профиль энергии турбулентности E/u_{*0}^2 лучше всего воспроизводится моделью 1 и хуже — моделью 3 (рис. 2, а). Модель 1 лучше описывает компоненты тензора турбулентных напряжений (рис. 3), в частности, зафиксированную в опытах анизотропию нормальных напряжений как у стенки, так и на оси потока, где $\langle v^2 \rangle = \langle w^2 \rangle$ и $\langle u^2 \rangle \approx 2\langle v^2 \rangle$. Локально-равновесная модель 3 дает наименьшее согласие касательных и нормальных напряжений, в частности, на оси трубы ($\langle u^2 \rangle \approx \langle v^2 \rangle \approx \langle w^2 \rangle$).

С увеличением закрутки потока при неизменном расходе воздуха как в расчетах, так и в опытах наблюдается (рис. 1, а) рост продольной компоненты средней скорости в приосевой части потока (при $0 < SP \leq 0,6$). Деформация профиля $U(r)$ вызывается искривлением линий тока в радиальном направлении под действием центробежной силы: сгущением у стенки и разрежением у оси. Вблизи стенки наклон профиля $\partial U / \partial r$ уменьшается, свидетельствуя о снижении турбулентного трения с ростом закрутки. Приведенные в настоящей работе опытные данные получены при одном и том же значении скорости на оси. Расчеты проведены при условии сохранения расхода. Из поведения кривых $U(r)/U_0$ на рис. 1, а

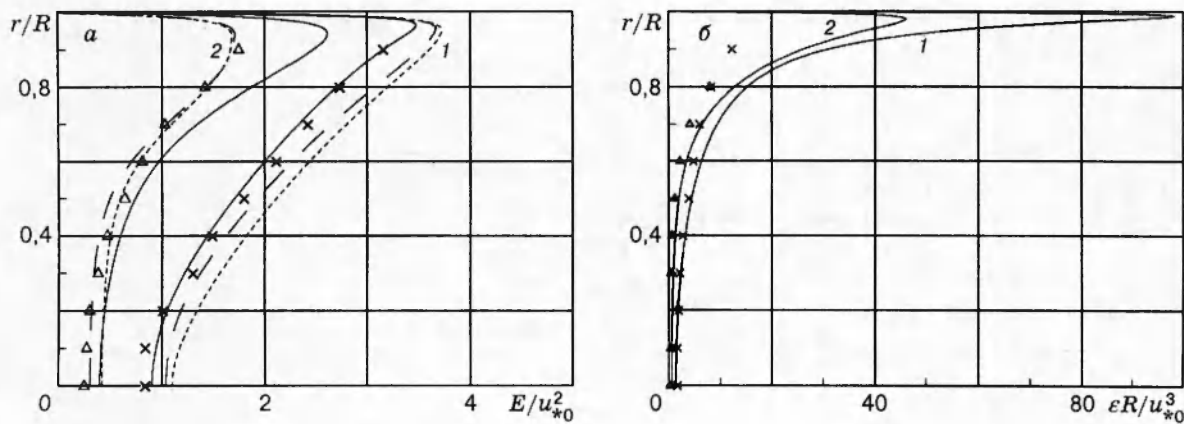


Рис. 2. Распределения энергии турбулентности E/u_*^2 (а) и скорости ее диссипации $\varepsilon R/u_*^3$ (б):

сплошные линии — расчет по модели 1; штриховые — по модели 2; пунктирные — по модели 3; остальные обозначения см. на рис. 1

видно, что характер влияния закрутки одинаков в расчетах и опытах.

С увеличением частоты вращения трубы относительная величина окружной компоненты средней скорости уменьшается в приосевой области (рис. 1, б). Таким образом, распределение $W(r)/W_0$ с ростом закрутки становится все более неравномерным по радиусу (показано в выходном сечении вращаемого участка трубы). Модель 1 второго порядка хорошо описывает значения W/W_0 при $SP = 0,15$ и $0,6$. Вычисленные по моделям 2 и 3 значения окружной скорости $W(r)/W_0$ оказываются заметно больше измеренных значений при всех $SP > 0$ (на рис. 1, б не показаны).

Все три модели турбулентности воспроизводят зафиксированный в экспериментах эффект уменьшения пульсационных характеристик $E, \varepsilon, \langle u_i u_j \rangle$ с ростом параметра закрутки

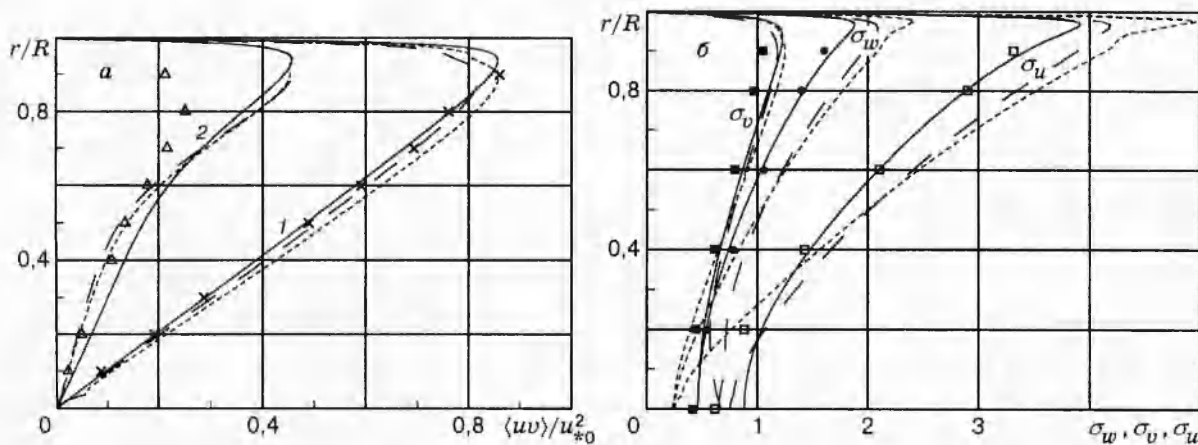


Рис. 3. Компоненты тензора турбулентных напряжений:

а — касательное напряжение $\langle uv \rangle/u_*^2$ при $SP = 0$ и $0,6$; б — нормальные напряжения при $SP = 0$; опытные точки $\square, \blacksquare, \bullet$ отвечают $\sigma_u = \langle u^2 \rangle/u_*^2, \sigma_v = \langle v^2 \rangle/u_*^2, \sigma_w = \langle w^2 \rangle/u_*^2$; остальные обозначения см. на рис. 1, 2

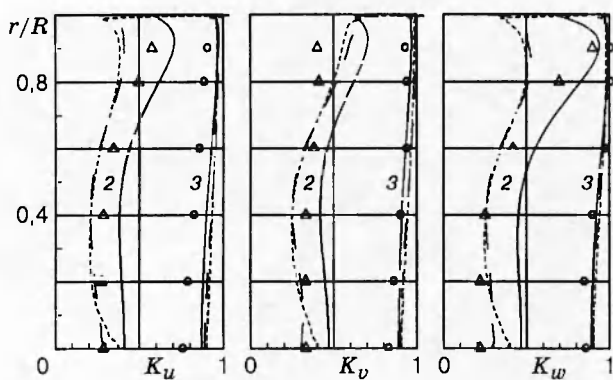


Рис. 4

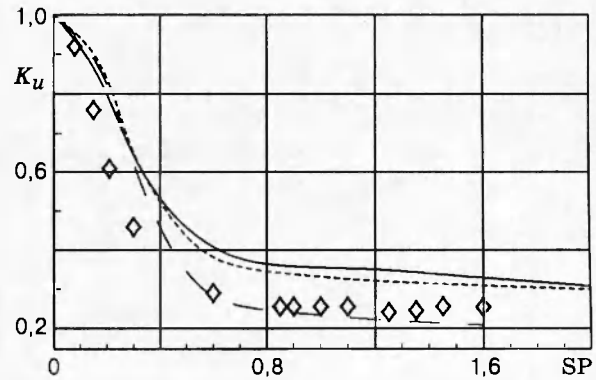


Рис. 5

Рис. 4. Поперечные профили «коэффициентов воздействия» $K_u = \langle u^2 \rangle (SP > 0) / \langle u^2 \rangle (SP = 0)$, $K_v = \langle v^2 \rangle (SP > 0) / \langle v^2 \rangle (SP = 0)$, $K_w = \langle w^2 \rangle (SP > 0) / \langle w^2 \rangle (SP = 0)$ (обозначения см. на рис. 1, 2)

Рис. 5. Зависимость продольного «коэффициента воздействия» K_u от параметра закрутки $SP = W_0/U_0$ при $r/R = 0$ и $x/R = 50$: обозначения линий см. на рис. 1, 2; \diamond — опытные данные

(рис. 2–6). Анизотропия компонент энергии турбулентности, имеющая место в незакрученном потоке (рис. 3, б), сохраняется и при наличии закрутки потока как в эксперименте, так и в вычислениях по моделям 1–3. Влияние закрутки на компоненты нормальных напряжений $\langle u_\alpha^2 \rangle$ оценивалось по «коэффициенту воздействия» (по индексу суммирования не проводится)

$$K_\alpha = \langle u_\alpha^2 \rangle (SP > 0) / \langle u_\alpha^2 \rangle (SP = 0)$$

для α -х среднеквадратичных пульсаций скорости. При слабой закрутке ($SP \leq 0,3$) наибольшее подавление интенсивности пульсаций наблюдается на оси потока. С увеличением закрутки ($SP > 0,6$) максимум подавления смещается в область $0,3 < r/R < 0,6$. Модели 1–3 воспроизводят эти эффекты (рис. 4). Дифференциальная модель 1 вторых моментов в целом лучше описывает поведение «коэффициентов воздействия» при $SP = 0,15$ и $0,6$.

Вычисленные по моделям 1–3 кривые зависимости «коэффициента воздействия» K_u от параметра закрутки SP удовлетворительно согласуются с опытными данными (рис. 5). Поведение вычисленных кривых, как и в опыте, характеризуется прекращением подавления интенсивности турбулентных пульсаций при $SP > 0,85$ (эффект насыщения по параметру закрутки).

Реализованная при численном моделировании маршевая процедура пошагового интегрирования по контрольным объемам дает возможность проследить изменение характеристик течения с ростом продольной координаты x . «Коэффициент воздействия» с увеличением x обнаруживает то же поведение, что и в опыте (рис. 6). При $r/R = 0,6$ воздействие закрутки проявляется сильнее и сказывается на расстоянии $x/R \approx 4 \div 5$ от начала вращающейся секции, тогда как на оси трубы — на расстоянии $x/R \approx 10 \div 14$. Таким образом, поток не испытывает влияния закрутки в сходящемся конусе на начальном участке вращающейся секции. Модель 2 дает более близкие к экспериментальным значения на оси трубы (рис. 6, а), а модель 1 — вне приосевой области (рис. 6, б).

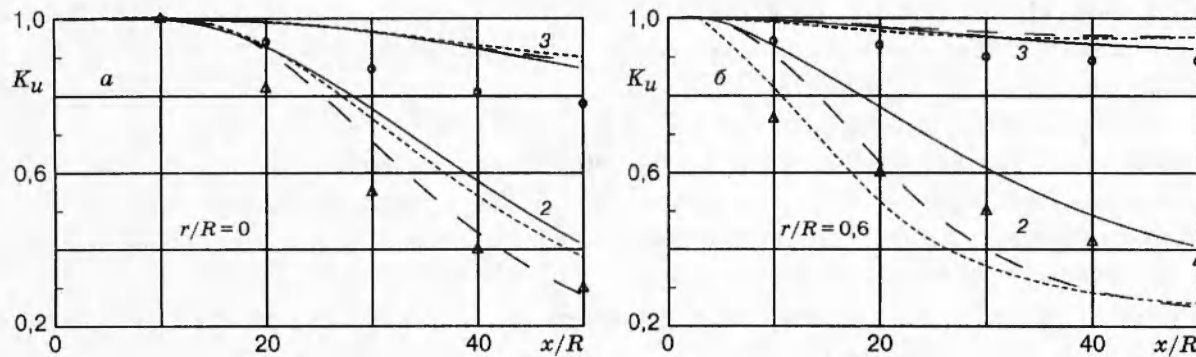


Рис. 6. Изменения K_u с ростом относительной координаты x/R , отсчитываемой от начала вращающейся секции:

a — на оси трубы ($r = 0$); *б* — при $r/R = 0,6$; обозначения см. на рис. 1, 2

Выводы. Результаты экспериментального изучения и математического моделирования развитого турбулентного течения во вращающейся вокруг продольной оси прямой круглой трубе показывают, что закрутка потока приводит к существенной перестройке его характеристик: при малых и умеренных закрутках происходит подавление процессов турбулентного обмена, т. е. уменьшение турбулентных касательных напряжений, всех трех компонент энергии турбулентности и скорости ее диссипации. Параметры потока меняются по всей длине вращающейся секции (здесь $0 < x/R < 50$), и не достигается картина, не зависящая от дальнейшего увеличения расстояния по оси x от начала секции. Модель уравнений переноса рейнольдсовских напряжений (модель 1) в целом дает лучшее согласие с экспериментальными данными, чем модели с алгебраическими соотношениями для вторых моментов (модели 2 и 3). Модель 2 с неравновесными соотношениями для нормальных напряжений, в свою очередь, позволяет точнее вычислить поведение энергии турбулентности и ее компонент в приосевой области потока при умеренной скорости вращения трубы, чем модель 3.

Работа выполнена при финансовой поддержке Российского фонда фундаментальных исследований (коды проектов 93-013-17632, 94-05-16287, 96-15-96310 и 96-02-16001) и INTAS (грант 93-2492-ext, программа центра ICFPM).

ЛИТЕРАТУРА

1. Prandtl L. Einfluss stabilisierender Kräfte auf die Turbulenz // Vortrage aus d.Gtd.d.Aerodyn. und verwandter Gebiete. Aachen, 1929. Berlin, 1930.
2. Bradshaw P. Effects of streamline curvature on turbulent flow // AGARDograph. 1973. N 169.
3. Онуфриев А. Т., Христианович С. А. Об особенностях турбулентного движения в вихревом кольце // Докл. АН СССР. 1976. Т. 229, № 1. С. 42–44.
4. Онуфриев А. Т. Об особенностях движения в ядре вихревого кольца // Физическая механика. Динамические процессы в газах и твердых телах. Л.: Изд-во Ленингр. ун-та, 1980. № 4. С. 31–69.
5. Заец П. Г., Онуфриев А. Т., Пилипчук М. И. и др. Использование термоанемометрического комплекса в блоке с ЭВМ для измерения характеристик турбулентных завихреных потоков // Физические методы исследования прозрачных неоднородностей. М.: Знание, 1986.

6. Сафаров Н. А. Поведение параметров развитого турбулентного потока в прямолинейном цилиндрическом канале, вращающем относительно продольной оси // Автореф. дис. ... канд. физ.-мат. наук. М.: МФТИ, 1986.
7. Заец П. Г. Экспериментальное исследование спектра турбулентности в потоке во вращающейся трубе // Автореф. дис. ... канд. физ.-мат. наук. М.: МФТИ, 1986.
8. Заец П. Г., Сафаров Н. А., Сафаров Р. А. Экспериментальное изучение поведения характеристик турбулентного потока при вращении канала относительно продольной оси // Современные проблемы механики сплошных сред. М.: МФТИ, 1985. С. 136–142.
9. Роди В. Модели турбулентности окружающей среды // Методы расчета турбулентных течений. М.: Мир, 1984. С. 227–322.
10. Курбацкий А. Ф. Моделирование нелокального турбулентного переноса импульса и тепла. Новосибирск: Наука, 1988.
11. Launder B. E., Reece G. J., Rodi W. Progress in the development of a Reynolds-stress turbulent model // J. Fluid. Mech. 1975. V. 68. P. 537–566.
12. Hossain M. S. Mathematische modellierung von turbulenten auftriebststromungen // Ph. D. Thesis. Karlsruhe: University of Karlsruhe, 1980.
13. Gibson M. M., Launder B. E. Ground effects on pressure fluctuations in the atmospheric boundary layer // J. Fluid Mech. 1978. V. 86. P. 491–511.
14. So R. M. C., Yoo G. J. On the Modeling of Low-Reynolds-Number Turbulence. NASA Contractor Report, 1986. N 3994.
15. Bradshaw P. The analogy between streamline curvature and buoyancy in turbulent shear flow // J. Fluid Mech. 1969. V. 36. P. 177–191.
16. Лондер Б. Е., Приддин С. Х., Шарма Б. И. Расчет турбулентного пограничного слоя на вращающихся и криволинейных плоскостях // Теорет. основы инж. расчетов. 1977. № 1. С. 332–340.
17. Daly B. J., Harlow F. H. Transport equations in turbulence // Phys. Fluids. 1970. V. 13, N 11. P. 2634–2649.
18. Spalding D. B. GENMIX: a General Computer Program for Two-Dimensional Parabolic Phenomena. Oxford: Pergamon Press, 1977.
19. Laufer J. The structure of turbulence in fully developed pipe flow. NASA Report. 1954. N 1174.
20. Букреев В. И., Зыков В. В., Костомаха В. А. Одномерные законы распределения вероятностей флюктуаций скорости при турбулентном течении в круглой трубе // Изв. СО АН СССР. Сер. техн. наук. 1975. № 13, вып. 3. С. 3–9.
21. Schildknecht M., Miller J. A., Meier G. E. A. The influence of suction on the structure of turbulence in fully developed pipe flow // J. Fluid Mech. 1979. V. 90. P. 67–107.
22. Lawn C. I. The determination of the rate of dissipation in turbulent pipe flow // J. Fluid Mech. 1971. V. 48, pt 3. P. 477–505.

Поступила в редакцию 11/VII 1996 г.